

# ЯН-ТЕЛЛЕРОВСКИЕ ДЕФОРМАЦИИ В АНИОНАХ МЕТАЛЛОФТАЛОЦИАНИНОВ $[M^{IV}OPc]^{n-}$ ( $M = Ti, V$ )

*A. B. Кузьмин\*, С. С. Хасанов, К. П. Мелетов, Р. П. Шибаева*

*Институт физики твердого тела Российской академии наук  
142432, Черноголовка, Московская обл., Россия*

Поступила в редакцию 20 ноября 2018 г.,  
после переработки 1 февраля 2019 г.  
Принята к публикации 1 февраля 2019 г.

На основе данных рентгеноструктурного анализа проведен сравнительный анализ молекулярной геометрии восьми анионов фталоцианинов  $[Ti^{IV}OPc]^{n-}$ ,  $[V^{IV}OPc]^{n-}$  ( $n = 1, 2$ ) и нейтральных фталоцианинов  $[Ti^{IV}OPc]$  и  $[V^{IV}OPc]$  с целью изучения ян-теллеровских деформаций их молекулярной структуры. Экспериментально показано, что заселение дополнительными электронами двукратно вырожденной низшей свободной молекулярной орбитали уровня молекулы  $[M^{IV}OPc]$  приводит к понижению тетрагональной симметрии остова с  $C_{4v}$  до  $C_{2v}$  с существенным изменением распределения длин связей в молекуле. В большей степени эффект проявляется в иминных связях фрагмента  $C-N_{im}-C$ , где наблюдается систематическое разделение связей на группы коротких и длинных. Степень деформации пропорциональна заряду макроцикла металлофталоцианина — органической части молекулы,  $C_{32}H_{16}N_8$ . Ян-теллеровские искажения макроцикла заметно влияют на положение характерных для  $[M^{IV}OPc]$  частот в спектрах комбинационного рассеяния света монокристаллов анионных фталоцианиновых комплексов в области  $1100 \div 1700 \text{ cm}^{-1}$ . Экспериментально полученные закономерности достаточно хорошо согласуются с результатами DFT-расчетов.

**DOI:** 10.1134/S0044451019060087

## 1. ВВЕДЕНИЕ

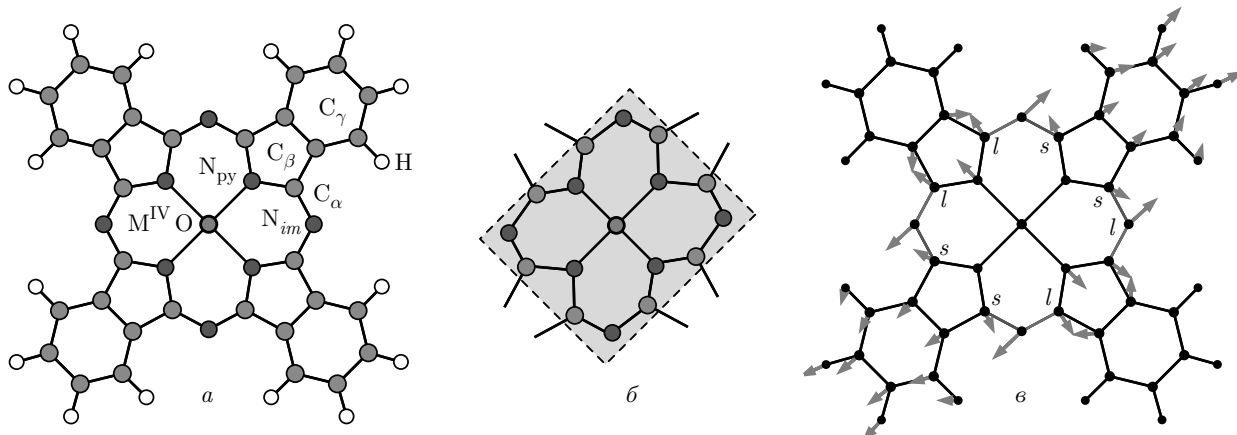
Теорема, сформулированная и доказанная Г. Яном и Э. Теллером, утверждает, что высокосимметричная система атомов или ионов с вырожденным основным состоянием электронов неустойчива относительно деформаций, пониждающих ее симметрию. Подобное электронное вырождение характерно для многих типов молекулярных систем в радикальных, активированных или возбужденных формах, но наиболее часто встречается у высокосимметричных ионов — так называемых ян-теллеровских (ЯТ) ионов.

Наличие в материале ЯТ-ионов может сильно повлиять на его физико-химические свойства или быть причиной различных фазовых превращений. Яркие и наиболее изученные примеры таких материалов можно найти в классе неорганических магнитных соединений с переходными металлами:

перовскитоподобные (квазиодномерный антиферромагнетик  $KCuF_3$ ), шпинели ( $Mn_2O_3$  с яфет-киттельевской спиновой конфигурацией), гранаты ( $Ca_3Mn_2Ge_3O_{12}$  со сложной магнитной структурой), мanganиты с общей формулой  $A_{1-x}B_xMnO_3$  ( $A$  — редкоземельный элемент,  $B$  — щелочной металл), обладающие колossalным магнитосопротивлением, и др. [1–5]. В таких материалах ЯТ-ионы, как правило, склонны к коллективным взаимодействиям, т. е. имеет место кооперативный ЯТ-эффект. В целом можно отметить, что кооперативные ЯТ-эффекты характерны, как правило, для концентрированных ЯТ-систем, где активные ЯТ-центры образуют связную сетку.

Иной интерес представляет класс квазизолированных ЯТ-систем, т. е. тех случаев, когда отдельные ЯТ-анионы достаточно далеко удалены друг от друга и разделены другими молекулами. Для большинства изолированных ЯТ-анионов искажения носят динамический характер. При динамическом ЯТ-эффекте система находится в состоянии «псевдовращения», т. е. хаотично туннелирует среди близких по энергии ЯТ-состояний. Псевдовращения

\* E-mail: kuzminav@issp.ac.ru



**Рис. 1.** Молекулярная структура металлофталоцианина  $[M^{IV}OPc]$  (а), прямоугольные ЯТ-деформации в макроцикле  $[M^{IV}OPc]$  (б), диаграмма ЯТ-смещений атомов в анионах  $[V^{IV}OPc]^{n-}$  (в). Для наглядности длины векторов смещения увеличены в 20 раз

аниона замораживаются при понижении температуры либо, когда анион помещают в слабое низкосимметричное кристаллическое поле. По этой причине стабилизацию псевдовращений можно ожидать у ЯТ-анионов, входящих в состав монокристаллов металлоорганических комплексов. В этом случае слабое межмолекулярное ван-дер-ваальсово взаимодействие между компонентами комплекса в сочетании с низкосимметричным окружением ЯТ-аниона приводит к реализации одной из возможных ЯТ-конфигураций аниона, что позволяет изучать характер его искажений дифракционными методами.

В простейшем рассмотрении полную энергию деформированного изолированного ЯТ-иона  $E_{LS}$  ( $LS$  — низкая симметрия) можно разложить в ряд по малым деформациям  $R_{dist}$ :

$$E_{LS} = E_{HS} - fR_{dist} + kR_{dist}^2/2 = E_{HS} - E_{split} + E_{elast},$$

где  $E_{HS}$  — энергия недеформированной высокосимметричной HS-конфигурации;  $f$ ,  $k$  — соответственно линейная и силовая вибронные константы. Устойчивость низкосимметричной LS-конфигурации обусловлена взаимной компенсацией проигрыша в упругой энергии деформации  $E_{elast}$  выигрышем от снятия вырождения электронных уровней  $E_{split}$ . Из данного вида квадратичного разложения следует, что минимальное значение потенциала достигается при деформациях  $R_{dist} = f/k$ .

Таким образом, величина искажений устойчивой LS-конфигурации  $R_{dist}$  является важной характеристикой конкретной ЯТ-системы. Она полностью определяется константами, параметризующими ее параболический потенциал  $E_{LS}(R_{dist})$ , и задает глубину его минимума  $E_{JT}$ . С фундаментальной точ-

ки зрения, особое значение имеет задача экспериментального измерения  $R_{dist}$ , так как она может быть достаточно точно решена напрямую методами монокристалльного рентгеноструктурного анализа (PCA).

В данной работе рассмотрены ЯТ-искажения в анионах  $[M^{IV}OPc]^{n-}$  в составе монокристаллов металлоорганических фталоцианиновых комплексов. Фталоцианин (Pc) представляет собой плоскую,  $\pi$ -сопряженную макромолекулу-гетероцикл, состоящую из восьми атомов азота и 32 атомов углерода, в центр которой может координироваться лиганд  $M^{IV}O$ , где  $M$  — атом четырехвалентного металла (рис. 1а). Высокие термическая и химическая стабильности Pc обеспечили их широкое применение в различных областях науки, техники и медицины: нелинейной оптике, фотовольтаике, а также для изготовления жидкких кристаллов, красителей, контрастных агентов для магнитно-резонансной томографии [6–9]. В последнее время активно исследуются материалы на основе восстановленных форм фталоцианинов, которые могут обладать в перспективе магнитными свойствами и металлической проводимостью [10, 11].

Через центр молекулы нейтрального  $[M^{IV}OPc]$  проходит ось четвертого порядка, что обуславливает двукратное вырождение низшей свободной (незаселенной) молекулярной орбитали молекулы (HCMO). При восстановлении  $[M^{IV}OPc]$  вырожденные уровни заселяются дополнительными электронами и включаются ЯТ-взаимодействия первого рода: макроцикл Pc деформируется, вырождение снимается и образуется ЯТ-анион  $[M^{IV}OPc]^{n-}$ .

Таблица 1. Исследуемые комплексы с  $[M^{IV}OPc]^{n-}$ 

№	<i>n</i>	Состав комплекса	Работы	CCDC
M = Ti				
I	0	$[Ti^{IV}OPc]-(C_6H_{13})_4$	[27]	904966
II	1	$[Ti^{IV}OPc]^{*-} \cdot TEA^+ \cdot C_6H_4Cl_2$	[15]	1013630
III	1	$[Ti^{IV}OPc]^{*-} \cdot MDABCO^+ \cdot TPC$	[16]	1581410
IV	1	$[Ti^{IV}OPc]^{*-} \cdot TBA^+$	[15]	1013629
V	2	$[Ti^{IV}OPc]^{2-} \cdot (TBA^+)_2$	[17]	1588565
M = V				
VI	0	$[V^{IV}OPc]-(C_6H_{13})_4$	[27]	904965
VII	1	$[V^{IV}OPc]^{*-} \cdot TBA^+$	[15]	1013632
VIII	1	$[V^{IV}OPc]^{*-} \cdot cryptand[2,2,2]Na^+ \cdot C_6H_4Cl_2$	[18]	1528926
IX	1	$[V^{IV}OPc]^{*-} \cdot (MDABCO^+)_2 \cdot I^-$	[16]	1581417
X	2	$[Ti^{IV}OPc]^{2-} \cdot (Bu_3MeP^+)_2$	[17]	1588570

Примечание:  $[M^{IV}OPc]$ ,  $[M^{IV}OPc]^{*-}$ ,  $[M^{IV}OPc]^{2-}$  — нейтральные металлофталоцианины, моно- и дианионы металлофталоцианинов; CCDC — номер структуры, депонированной в кембриджской базе данных; TEA<sup>+</sup> — тетраэтиламмоний; MDABCO<sup>+</sup> — катион N-диазабициклооктана; TPC — триптицен; TBA<sup>+</sup> — тетрабутиламмоний; cryptand[2,2,2]Na<sup>+</sup> — катион криптанда [2,2,2] натрия; Bu<sub>3</sub>MeP<sup>+</sup> — трибутилметилfosфоний.

С целью экспериментального обнаружения и оценки параметров стабильных ЯТ-деформаций была проведена серия рентгеноструктурных исследований монокристаллов фталоцианиновых анионных комплексов с разным компонентным составом при низкой температуре и детально изучена структура каждого аниона  $[M^{IV}OPc]^{n-}$ , проанализированы их спектры комбинационного рассеяния света (КРС). Полученные структурные данные стали основой для DFT-расчетов, результаты которых были сопоставлены с экспериментальными данными.

## 2. ЭКСПЕРИМЕНТ

### 2.1. Образцы и структурные исследования

Список изученных в работе анионных комплексов и нейтральных соединений металлофталоцианинов приведен в табл. 1. Использовались структурные данные для нейтральных  $[Ti^{IV}OPc]$  и  $[V^{IV}OPc]$  — образцы I [12] и VI [13], взятые из кембриджской базы CCDC [14], и полученные нами данные рентгеноструктурного анализа высококачественных монокристаллов анионных комплексов металлофталоцианинов. Монокристаллы анионных комплексов II, III, IV, V, VII, VIII, IX, X были

синтезированы методом медленной диффузии из гексана в раствор в ИПХФ РАН. Рентгеноструктурный анализ оригинальных комплексов выполнен с использованием лабораторного дифрактометра Oxford Diffraction Gemini R, оснащенного криогенной приставкой продувного типа Criojet Systems и двухкоординатным CCD-детектором. Дифракционные эксперименты проводились в инертной атмосфере при азотной температуре во избежание окисления монокристаллов и их разрушения из-за десорбции молекул растворителя. Подробное описание этапов синтеза и кристаллической структуры анионных комплексов можно найти в работах [15–18].

### 2.2. Теоретические расчеты

Известно, что устойчивые ЯТ-деформации плоских порфирино- и фталоцианиноподобных молекул как систем атомов с квадратной координацией обусловлены «прямоугольными»искажениями центральной части макроцикла (см. рис. 1б) [2, 19, 20]. Чтобы узнать, как именно прямоугольные искажения меняют структуру связей в  $[M^{IV}OPc]^{n-}$ , была проведена DFT-оптимизация геометрии изолированных анионов  $[Ti^{IV}OPc]^{n-}$  и  $[V^{IV}OPc]^{n-}$ . Рас-

четыре выполнялись в программе Firefly 8.2.0 [21] с использованием неограниченного гибридного функционала UB3LYP в смешанном базисе: для атомов C, H, O, N был использован базисный набор cc-pVTZ [22], а для атомов Ti и V — базис LANL2DZ [23]. В целях уменьшения времени счета на симметрию нейтральных молекул  $[M^{IV}OPc]$  и анионов  $[M^{IV}OPc]^{*-}$ ,  $[M^{IV}OPc]^{2-}$  накладывались соответственно  $C_{4v}-$ ,  $C_{2v}$ -ограничения. Все приведенные в работе расчетные спектры КРС были смоделированы на основе оптимизированной геометрии фталоцианинов в рамках той же теоретической модели.

### 2.3. Спектроскопия КРС

Симметрия нейтрального металлофталоцианина  $[M^{IV}OPc]$  соответствует точечной группе  $C_{4v}$ . Полное число нормальных колебаний в молекуле равно  $58 \times 3 - 6 = 168$  и раскладывается в сумму неприводимых представлений следующим образом:

$$\Gamma_{vibr} = 23A_1 + 19A_2 + 21B_1 + 21B_2 + 42E.$$

Границная НСМО-орбиталь нейтрального  $[M^{IV}OPc]$  двукратно вырождена и принадлежит неприводимому представлению  $E$ . Симметричная компонента прямого произведения электронных состояний  $e$  равна  $(e \times e)^+ = A_1 + B_1 + B_2$  и указывает симметрию активных нормальных ЯТ-мод. Согласно теоретическим расчетам [24, 25] энергетически устойчивым ЯТ-деформациям аниона Рс отвечают искажения  $A_1 + B_1$ , при которых макроцикл фталоцианина деформируется по прямоугольному типу. Колебания симметрии  $B_1$  активны в КРС, поэтому стабилизация прямоугольных ЯТ-деформаций должна проявляться как смещение полос  $B_1$  в спектрах КРС-анионов.

В экспериментах по КРС детально исследовалась область спектра  $1100 \text{ см}^{-1}$ – $1700 \text{ см}^{-1}$  для поликристаллических порошков  $[Ti^{IV}OPc]$  (I) и  $[V^{IV}OPc]$  (VI), а также монокристаллов моноанионных комплексов  $[Ti^{IV}OPc]^{*-} \cdot TBA^+$  (IV) и  $[V^{IV}OPc]^{*-} \cdot (MDABCO^+)_2 \cdot I^-$  (IX). Спектры КРС были получены на спектрометре Acton SpectraPro-2500i, оснащенном CCD-детектором Pixis2K и оптическим микроскопом Olympus. Измерения проводились в геометрии обратного рассеяния при комнатной температуре. Все исследуемые кристаллы комплексов были запаяны в тонкостенные стеклянные ампулы в вакууме во избежание их разложения на воздухе. В случае нейтральных металлофталоцианинов использовался коммерчески доступный мелкодисперсный

поликристаллический порошок, предоставленный Acros Organics. Спектры анионных комплексов были получены на монокристаллах с характерным размером от 100 до 200 мкм. Для возбуждения КРС использовался твердотельный лазер с длиной волны излучения 532 нм и мощностью не более 1 мВт. Лазерный пучок фокусировался на одну из граней кристалла, визуально не содержащую дефектов. При использовании объективов Olympus 10× и Olympus 50× диаметр пятна фокусировки составлял соответственно около 2 мкм и 1.1 мкм.

## 3. ОБСУЖДЕНИЕ РЕЗУЛЬТАТОВ

На рис. 1 $\sigma$  показана векторная диаграмма малых ЯТ-смещений атомов, построенная по результатам DFT-оптимизации геометрии анионов  $[M^{IV}OPc]^{n-}$ , где  $n = 0, 1, 2$  (масштаб 20 : 1). На диаграмме отчетливо видно, что периферийные и центральные части аниона  $[M^{IV}OPc]^{n-}$  по-разному реагируют на восстановление Рс (заселение дополнительными электронами уровня НСМО). Внешние бензольные кольца либо остаются на месте, либо смещаются как единое целое, в то время как искажения внутренней части Рс подобны тем, что были предсказаны в расчетах для порфиринов [26]. Простой ЯТ-эффект в большей степени проявляется на связях  $C_\alpha$  с иминными атомами азота  $N_{im}$ . Изменения их длин соответствуют одноосному «растяжению» Рс по прямоугольному типу. Такие связи можно условно разделить на группу коротких ( $s$ ) и длинных ( $l$ ), а величину  $R_{dist} = l - s$  рассматривать как степень искажения Рс.

Предсказанное DFT-расчетом диспропорционирование  $l/s$  было обнаружено в макроциклах всех исследуемых анионов фталоцианинов. На рис. 2 представлены результаты анализа связей в молекулярном фрагменте  $C_\alpha-N_{im}-C_\alpha$ , основанного на структурных данных монокристаллов оригинальных анионных комплексов и литературных данных для нейтральных металлофталоцианинов. Результаты монокристалльного рентгеноструктурного анализа [27] показывают, что нейтральные молекулы  $[Ti^{IV}OPc]$  и  $[V^{IV}OPc]$  практически не испытывают искажений и их иминные связи близки по длине с небольшим отклонением от средних значений соответственно 1.330 Å и 1.328 Å. В группах ЯТ-моноанионов фталоцианина титанила (II–IV) и ванадила (VII–IX) отчетливо проявляются прямоугольные искажения. Согласно нашим структурным данным, связи фрагмента  $C_\alpha-N_{im}-C_\alpha$  в реальных моноани-

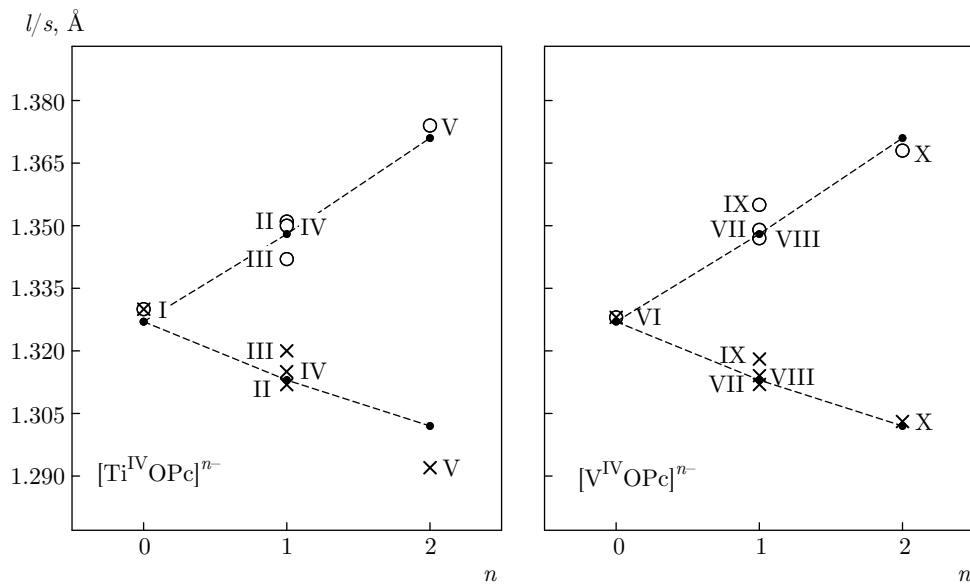


Рис. 2. Искажения в ЯТ-анионах  $[\text{M}^{\text{IV}}\text{OPc}]^{n-}$ :  $l$  (○) и  $s$  (×) — длинные и короткие связи в иминных группах  $\text{C}_\alpha-\text{N}_{im}-\text{C}_\alpha$ , DFT (●) — результаты теоретических расчетов. Римскими цифрами обозначены номера комплексов в соответствии с табл. 1

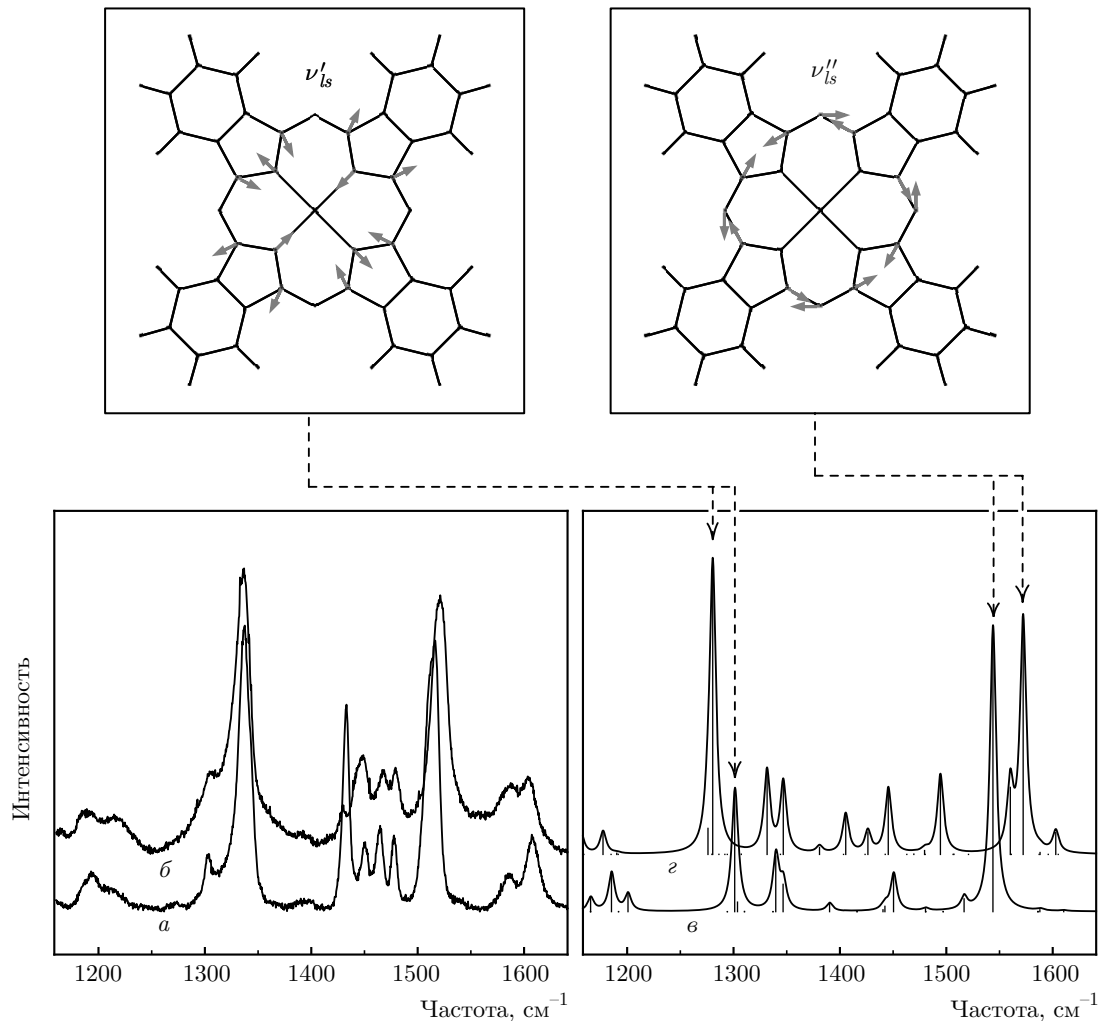
онах диспропорционируют на  $0.022 \text{ \AA}$ – $0.039 \text{ \AA}$  (величина  $R_{dist}$ ), при этом средние значения длин  $l$  и  $s$  хорошо согласуются с рассчитанными по методу DFT. В дианионах V и X искажения макроциклов возрастают по величине, а выделенное направление прямоугольного растяжения сохраняется. На рис. 2 отчетливо видно, что увеличение заряда  $n$  приводит к удвоению величин деформаций  $R_{dist}$ , средние значения которых возрастают от  $0.032 \text{ \AA}$  и  $0.036 \text{ \AA}$  в группе моноанионов до  $0.083 \text{ \AA}$  и  $0.065 \text{ \AA}$  в группе дианионов соответственно для  $[\text{Ti}^{\text{IV}}\text{OPc}]$  и  $[\text{V}^{\text{IV}}\text{OPc}]$ .

Спектры КРС комплексов металлофталоцианина с различными моноанионами  $\text{M}^{\text{IV}}\text{O}$  демонстрируют весьма схожие частоты и интенсивности фононных мод, поэтому мы ограничимся подробным рассмотрением аниона  $[\text{V}^{\text{IV}}\text{OPc}]^{n-}$ . На рис. 3 представлены экспериментальные и расчетные спектры КРС для монокристаллов комплексов VI и IX в интервале частот  $1100$ – $1800 \text{ cm}^{-1}$ . Полная расшифровка спектров КРС металлофталоцианина затруднена из-за большого числа спектральных линий и частичного перекрывания пиков. Дополнительные сложности вызывает резонансное усиление высокочастотных мод при использовании видимого лазерного возбуждения из-за сильного оптического поглощения металлофталоцианина в видимой области спектра. Тем не менее для большинства плоских металлофталоцианинов с симметрией  $D_{4h}$  область фононных частот  $1100$ – $1800 \text{ cm}^{-1}$  хорошо изучена как тео-

ретически, так и экспериментально [28–30]. Одной из однозначно интерпретируемых фононных частот указанного диапазона является мода, ответственная за валентные колебания связей во фрагменте  $\text{C}_\alpha-\text{N}_{im}-\text{C}_\alpha$  макроцикла. На спектрах КРС эта мода проявляется как интенсивный и, как правило, одиночный пик в узком диапазоне  $1400$ – $1550 \text{ cm}^{-1}$ . Точное положение максимума сильно зависит от внутреннего строения металлофталоцианина, в частности, известно, что увеличение атомного радиуса металла M может приводить к сдвигам пика в сторону высоких энергий [28].

На вставке к рис. 3 изображены рассчитанные векторные диаграммы колебаний  $B_1$  мод  $\nu'_{ls}$  и  $\nu''_{ls}$ . В расчетных спектрах они соответствуют двум интенсивным одиночным пикам и отчетливо видны на экспериментальных спектрах для моноанионов и нейтральных фталоцианинов ванадила. Положение  $\nu'_{ls}$  и  $\nu''_{ls}$  должно быть весьма чувствительно к простому ЯТ-эффекту, так как в случае обеих частот наибольший вклад в колебания вносят смещения атомов во внешнем иминном кольце. Мода  $\nu''_{ls}$  соответствует валентным колебаниям в мостиковых связях фрагмента  $\text{C}_\alpha-\text{N}_{im}-\text{C}_\alpha$  в направлении  $l/s$ -диспропорционирования, а мода  $\nu'_{ls}$  — маятниковым.

В табл. 2 представлены экспериментальные значения частот  $\nu'_{ls}$  и  $\nu''_{ls}$  для  $[\text{V}^{\text{IV}}\text{OPc}]^{n-}$ , их расчетные значения для оптимизированных анионов



**Рис. 3.** Векторные диаграммы колебательных валентных мод  $\nu_1$  и  $\nu_2$  в мостиковых связях фрагмента  $C_\alpha-N_{im}-C_\alpha$ . Экспериментальные и расчетные спектры КРС для нейтрального фталоцианина ванадила и анионных комплексов с фталоцианином ванадила: *a* — поликристаллический порошок  $[V^{IV}OPc]$ , *б* — монокристаллы  $[V^{IV}OPc]^{*-} \cdot (MDABCO^+)_2 \cdot I^-$ , *в* — DFT-расчет изолированного нейтрального фталоцианина  $[V^{IV}OPc]$ , *г* — DFT-расчет изолированного моноаниона  $[V^{IV}OPc]^{*-}$

$[V^{IV}OPc]^{n-}$ , а также экспериментальные значения для фталоцианинов  $[Ti^{IV}OPc]^{n-}$ , изоструктурных фталоцианинам ванадила. Расчеты B3LYP предсказывают значительные разнонаправленные сдвиги в частотах  $\nu'_{ls}$  ( $\Delta\nu = -20.6\text{ cm}^{-1}$ ) и  $\nu''_{ls}$  ( $\Delta\nu = +28.4\text{ cm}^{-1}$ ) при восстановлении  $[V^{IV}OPc] \rightarrow [V^{IV}OPc]^{*-}$ . Относительные смещения частот этих мод в экспериментальных спектрах КРС  $[V^{IV}OPc]^{*-}$  происходят в тех же направлениях, но заметно меньше по величине. Согласно экспериментальным данным, смещение  $\nu'_1$  полосы мало и составляет  $-1.5\text{ cm}^{-1}$ , в то время как полоса  $\nu''_{ls}$  сдвигается на  $+6.3\text{ cm}^{-1}$  при восстановлении

$[V^{IV}OPc]$ . Расчетное положение максимума  $\nu''_{ls}$  смещается от  $1543.85\text{ cm}^{-1}$  до  $1572.20\text{ cm}^{-1}$  ( $\Delta\nu$  равно  $28.4\text{ cm}^{-1}$ ), что заметно больше экспериментально наблюдаемого сдвига. Аналогичные изменения наблюдаются и в экспериментальных спектрах КРС фталоцианинов титанила. При переходе  $[Ti^{IV}OPc] \rightarrow [Ti^{IV}OPc]^{*-}$  оба максимума  $\nu'_{ls}$  и  $\nu''_{ls}$  смещаются в область больших частот, однако сдвиг центра интенсивного пика  $\nu''_{ls}$  ( $\Delta\nu = 7.7\text{ cm}^{-1}$ ) значительно превышает смещение пика  $\nu'_{ls}$  ( $\Delta\nu = 0.5\text{ cm}^{-1}$ ). Заметное количественное различие экспериментальных и расчетных данных по смещению  $\nu'_{ls}$  и  $\nu''_{ls}$  полос может быть связано

**Таблица 2.** Смещение интенсивных  $B_1$ -полос  $\nu'_{ls}$  и  $\nu''_{ls}$  в спектрах комплексов с  $[M^{IV}OPc]^{n-}$

$n$	$\nu'_{ls}, \text{ см}^{-1}$ $B_1$	$\Delta\nu, \text{ см}^{-1}$	$\nu''_{ls}, \text{ см}^{-1}$ $B_1$	$\Delta\nu, \text{ см}^{-1}$
[Ti <sup>IV</sup> OPc] <sup>n-</sup>				
0	1338.16	+0.8	1509.18	+7.7
1	1338.70		1516.89	
[V <sup>IV</sup> OPc] <sup>n-</sup>				
0	1337.15	-1.5	1514.34	+6.3
1	1335.69		1520.67	
[V <sup>IV</sup> OPc] <sup>n-</sup> -DFT*				
0	1301.12	-20.6	1543.85	+28.4
1	1280.52		1572.20	

Примечание: \* — расчетные значения частот для изолированных  $[V^{IV}OPc]^{n-}$ , приведены с коэффициентом 0.978 [34].

с ограниченностью метода расчета (например, в расчетах не учитывается ангармонизм ядерных колебаний), а также с тем, что расчеты выполнялись для изолированных анионов  $[V^{IV}OPc]^{n-}$  и нейтральных  $[V^{IV}OPc]$  молекул фталоцианина, в то время как измерения спектров КРС проводились на кристаллах. В последнем случае может оказываться влияние кристаллического поля и межмолекулярного взаимодействия, что может привести к количественным различиям фононных частот. Следует также учитывать, что экспериментальные спектры были получены при комнатной температуре, и после охлаждения образцов проявление ЯТ-эффекта может стать более отчетливым. По нашим предварительным данным, при  $T = 93$  К сдвиги  $\Delta\nu$  максимумов  $\nu'_{ls}$  и  $\nu''_{ls}$  в спектрах КРС увеличиваются примерно на  $3 \text{ см}^{-1}$  соответственно своему направлению и становятся наиболее близкими к теоретическим.

Таким образом, экспериментально обнаруженное смещение  $\Delta\nu''_{ls}$  для фталоцианинов титанила и ванадила составляет  $6.3 \text{ см}^{-1}$  и  $7.7 \text{ см}^{-1}$  и связано со стабилизацией ЯТ-искажений в каркасах Рс. Следует отметить, что наблюдаемые сдвиги  $\Delta\nu''_{ls}$  сравнимы с экспериментально наблюдаемым смещением  $A_g(2)$ -моды, связанной с валентными C–C-колебаниями каркаса молекулы  $C_{60}$ , в интеркалированных фуллеродах  $C_{60}^n \cdot (M^+)_n$  ( $M^+$  — атом щелочного металла). Этот сдвиг составляет в среднем  $-6 \text{ см}^{-1}$  на дополнительный электрон аниона  $C_{60}^{n-}$ , а одной из причин такого смягчения моды  $A_g(2)$  в фуллере-

ридах является понижение симметрии отрицательно заряженного фуллерена  $C_{60}^{n-}$ , вызванное динамическим ЯТ-эффектом [31, 32].

## 4. ЗАКЛЮЧЕНИЕ

В настоящей работе показано, что заселение дополнительными электронами двукратно вырожденного НСМО-уровня на макроцикле фталоцианина приводит к существенным изменениям его внутренней структуры, вызванным ян-теллеровским взаимодействием. ЯТ-эффект проявляется как сжатие–удлинение связей во фрагменте  $C_\alpha-N_{im}-C_\alpha$  макроциклов  $[M^{IV}OPc]^{n-}$ , понижение тетрагональной симметрии молекулы до орторомбической. Степень деформаций пропорциональна заряду макроцикла фталоцианина.

Восстановление фталоцианинов  $[M^{IV}OPc]$  происходит по макроциклу, как показано в данной работе. Возможен и другой характер восстановления, когда дополнительный электрон садится на атомную орбиталь центрального атома металла, как это имеет место в металлофталоцианинах с железом [33]. Выбор типа восстановления определяется относительным положением уровней энергий НСМО макроцикла и  $d_{z^2}$ -уровня металла. Продемонстрированные авторами характерные искажения макроцикла, так же как и смещения положения интенсивной  $\nu''_{ls}$ -полосы в спектрах КРС, могут служить надежным маркером локализации заряда на электронной  $\pi$ -системе фталоцианина. Определить тип восстановления  $[M^{IV}OPc]^{n-}$  косвенно можно также по характерному смещению полос поглощения и появлению дополнительной полосы поглощения в электронных оптических спектрах [15, 17].

**Благодарности.** Авторы выражают благодарность Д. В. Конареву за предоставленные образцы комплексов металлофталоцианинов и обсуждение результатов.

**Финансирование.** Работа выполнена в рамках госзадания Института физики твердого тела РАН при частичной финансовой поддержке Российского фонда фундаментальных исследований (грант № 18-33-00731).

## ЛИТЕРАТУРА

1. К. И. Кугель, Д. И. Хомский, УФН **136**, 621 (1982).

2. I. B. Bersuker, *The Jahn-Teller Effect*, Cambridge Univ. Press, Cambridge (2006).
3. A. J. Millis, P. B. Littlewood, and B. I. Shraiman, Phys. Rev. Lett. **74**, 5144 (1995).
4. H. Röder, J. Zang, and A. R. Bishop, Phys. Rev. Lett. **76**, 1356 (1996).
5. E. Dagotto, *Nanoscale Phase Separation and Colossal Magnetoresistance*, Springer Series in Solid State Sciences. 1st ed. Springer-Verlag, Berlin, Heidelberg (2002).
6. J. Xue, S. Uchida, B. Rand et al., Appl. Phys. Lett. **85**, 5757 (2004).
7. J. Robertson, A. Smith, J. Duignan et al., Appl. Phys. Lett. **78**, 1183 (2001).
8. D. Hohnholz, S. Steinbrecher, and M. Hanack, J. Mol. Struct. **521**, 231 (2000).
9. D. Wöhrle, *Phthalocyanines: Properties and Applications*, ed. by C. C. Leznoff and A. B. P. Lever, Adv. Mater. **5**, 942 (1993).
10. T. Inabe and H. Tajima, Chem. Rev. **104**, 5503 (2004).
11. D. E. C. Yu, M. Matsuda, H. Tajima et al., J. Mater. Chem. **19**, 718 (2009).
12. O. Okada, K. Oka, and M. Iijima, Jpn. J. Appl. Phys. **32**, 3556 (1993).
13. A. J. Ramadan, L. A. Rochford, D. S. Keeble et al., J. Mater. Chem. C Mater. Opt. Electron. Devices **3**, 461 (2014).
14. C. R. Groom, I. J. Bruno, M. P. Lightfoot et al., Acta Crystallographica Section B Structural Science, Crystal Engineering and Materials **72**, 171 (2016).
15. D. V. Konarev, A. V. Kuzmin, M. A. Faraonov et al., Chem. Eur. J. **21**, 1014 (2015).
16. D. V. Konarev, A. V. Kuzmin, S. S. Khasanov et al., Cryst. Eng. Comm. **20**, 385 (2018).
17. D. V. Konarev, A. V. Kuzmin, S. S. Khasanov et al., Chem. Asian J. **13**, 1552 (2018).
18. D. V. Konarev, M. A. Faraonov, A. V. Kuzmin et al., New J. Chem. **41**, 6866 (2017).
19. L. Andjelkovic, S. Stepanovic, F. Vlahovic et al., Phys. Chem. Chem. Phys. **18**, 29122 (2016).
20. M. G. Cory, H. Hirose, and M. C. Zerner, Inorg. Chem. **34**, 2969 (1995).
21. A. A. Granovsky, Firefly version 8.
22. R. A. Kendall, T. H. Dunning, and R. J. Harrison, J. Chem. Phys. **96**, 6796 (1992).
23. P. J. Hay and W. R. Wadt, J. Chem. Phys. **82**, 270 (1985).
24. J. Tóbik and E. Tosatti, J. Phys. Chem. A **111**, 12570 (2007).
25. J. Tóbik and E. Tosatti, J. Surf. Sci. **600**, 3995 (2006).
26. H.-L. Gao, F. Chen, G. Yao et al., Chinese J. Chem. Phys. **26**, 504 (2013).
27. S. Dong, C. Bao, H. Tian et al., Adv. Mater. **25**, 1165 (2013).
28. D. R. Tackley, G. Dent, W. Ewen Smith et al., Phys. Chem. Chem. Phys. **3**, 1419 (2001).
29. D. R. Tackley, G. Dent, and W. Ewen Smith, Phys. Chem. Chem. Phys. **2**, 3949 (2000).
30. T. V. Basova, V. G. Kiselev, B.-E. Schuster et al., J. Raman Spectrosc. **40**, 2080 (2009).
31. R. C. Haddon, A. F. Hebard, M. J. Rosseinsky et al., Nature **350**, 320 (1991).
32. H. Kuzmany, M. Matus, B. Burger et al., Adv. Mater. **6**, 731 (1994).
33. D. V. Konarev, A. V. Kuzmin, M. Ishikawa et al., Eur. J. Inorg. Chem. **2014**, 3863 (2014).
34. R. D. Johnson, NIST Computational Chemistry Comparison and Benchmark Database, NIST Standard Reference Database Number 101, National Institute of Standards and Technology (2012).